

# Des cages de lumière pour les atomes : la physique des pièges et des réseaux optiques

## Cours 5.

### Les oscillations de Bloch dans un réseau optique

Jean Dalibard

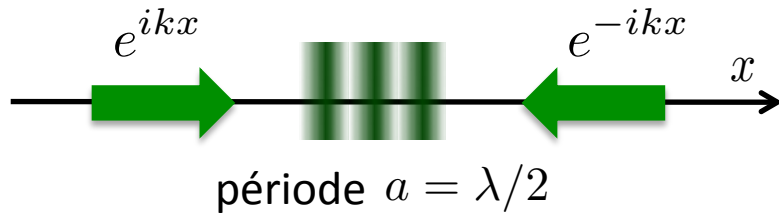
Chaire *Atomes et rayonnement*

Année 2012-13



COLLÈGE  
DE FRANCE  
— 1530 —

# Bilan des cours précédents



Atome dans un réseau optique stationnaire :

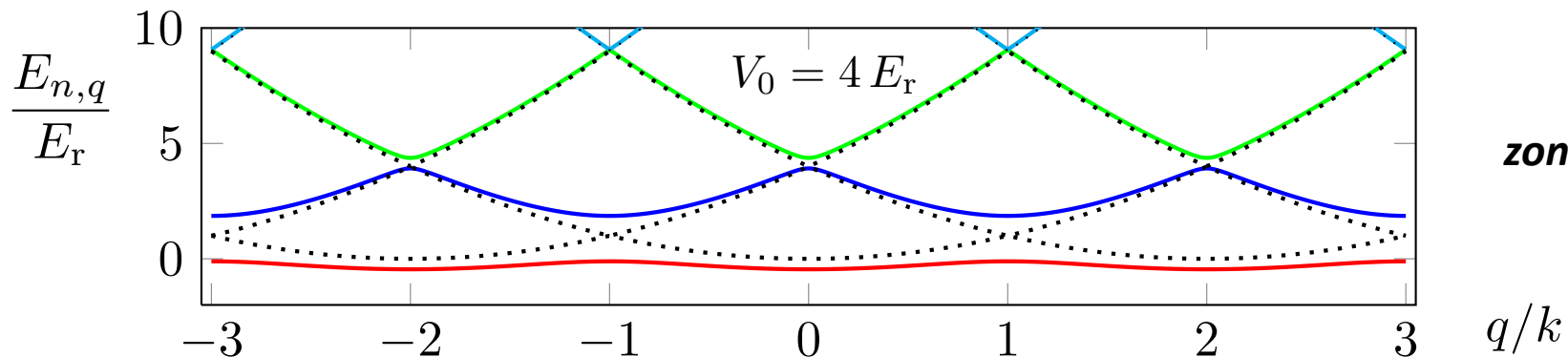
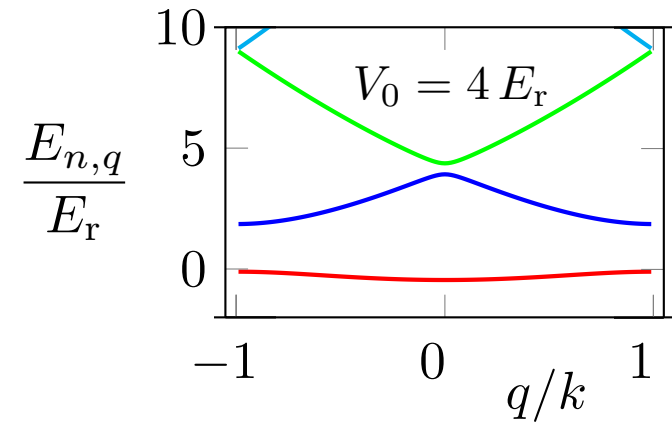
$$\hat{H} = \frac{\hat{p}^2}{2m} + V(\hat{x}) \quad V(x) = V_0 \sin^2(kx)$$

Fonctions de Bloch :  $\psi_{n,q}(x) = e^{ixq} u_{n,q}(x)$

Bandes d'énergie :  $E_n(q)$

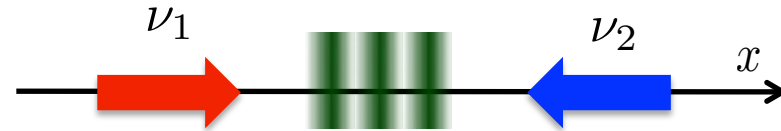
Echelle d'énergie :  $E_r = \hbar^2 k^2 / 2m$

zone de Brillouin :  $-k < q \leq k$



# Bilan des cours précédents

Réseau dépendant du temps :



$$V(x) = V_0 \sin^2(kx) \longrightarrow V(x, t) = V_0 \times \sin^2[k(x - x_0(t))]$$

Identification de trois hamiltoniens équivalents pour décrire ce problème

$$A(t) = m\dot{x}_0(t)$$

$$F(t) = -\dot{A}(t) = -m\ddot{x}_0(t)$$

$$\hat{H}_0(t) = \frac{[\hat{p} - A(t)]^2}{2m} + V(\hat{x})$$

$\hat{U}_1$

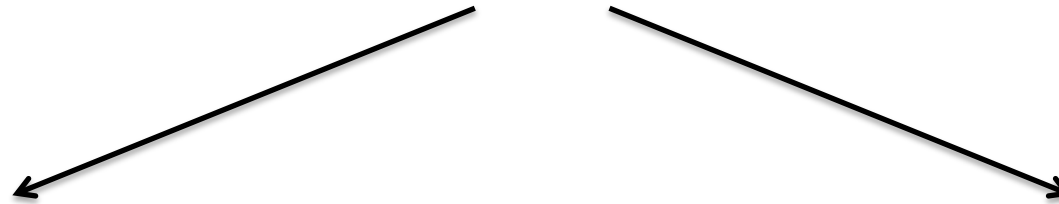
$\hat{U}_2$

$$\hat{H}_1(t) = \frac{\hat{p}^2}{2m} + V(\hat{x}) - F(t) \hat{x}$$

$$\hat{H}_2(t) = \frac{\hat{p}^2}{2m} + V[\hat{x} - x_0(t)]$$

## Les trois hamiltoniens utiles

$$\hat{H}_0(t) = \frac{[\hat{p} - A(t)]^2}{2m} + V(\hat{x})$$



$$\hat{H}_1(t) = \frac{\hat{p}^2}{2m} + V(\hat{x}) - F(t) \hat{x}$$

$$\hat{H}_2(t) = \frac{\hat{p}^2}{2m} + V[\hat{x} - x_0(t)]$$

Si  $\hat{H}_2$  est l'hamiltonien dans le référentiel du laboratoire, alors  $\hat{H}_1$  est l'hamiltonien du même problème dans le référentiel accéléré

$$F(t) = -m\ddot{x}_0(t) : \textit{force d'inertie}$$

Mais  $\hat{H}_1$  peut également être l'hamiltonien dans le référentiel du laboratoire si on ajoute une « vraie » force constante : champ électrique sur un électron, gravité, gradient de champ magnétique sur un atome neutre

# Evolution d'une onde de Bloch pour les trois hamiltoniens

$$\text{Hamiltonien } \hat{H}_0(t) = \frac{[\hat{p} - A(t)]^2}{2m} + V(\hat{x})$$

$$\text{Forme de Bloch conservée, } e^{ixq}u(x, 0) \rightarrow e^{ixq}u(x, t) \quad q(t) = q(0)$$

---

$$\text{Hamiltonien } \hat{H}_2(t) = \frac{\hat{p}^2}{2m} + V[\hat{x} - x_0(t)]$$

$$\text{Forme de Bloch conservée, } e^{ixq}u(x, 0) \rightarrow e^{ixq}u(x, t) \quad q(t) = q(0)$$

---

$$\text{Hamiltonien } \hat{H}_1(t) = \frac{\hat{p}^2}{2m} + V(\hat{x}) - F(t) \hat{x}$$

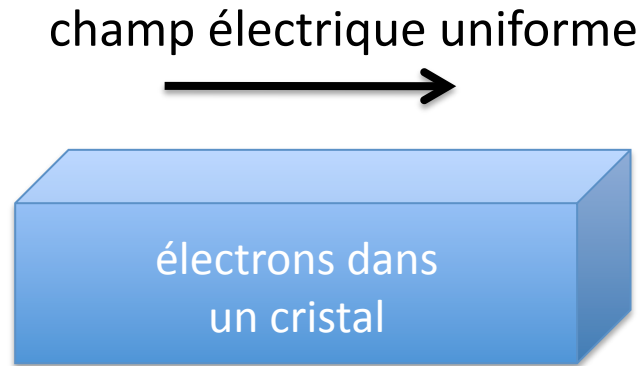
Forme de Bloch conservée mais avec un changement de quasi-moment:

$$e^{ixq}u(x, 0) \rightarrow e^{ixq(t)}u(x, t) \quad q(t) = q(0) - p_0(t)/\hbar = q(0) + \frac{1}{\hbar} \int_0^t F(t') dt'$$

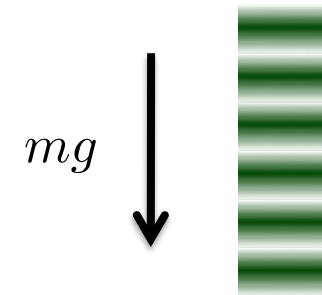
**1.**

**Le principe des oscillations de Bloch**

# Le problème de Zener (1934)



Exemple de transposition avec des atomes



A quel champ se produit le « claquage » ?

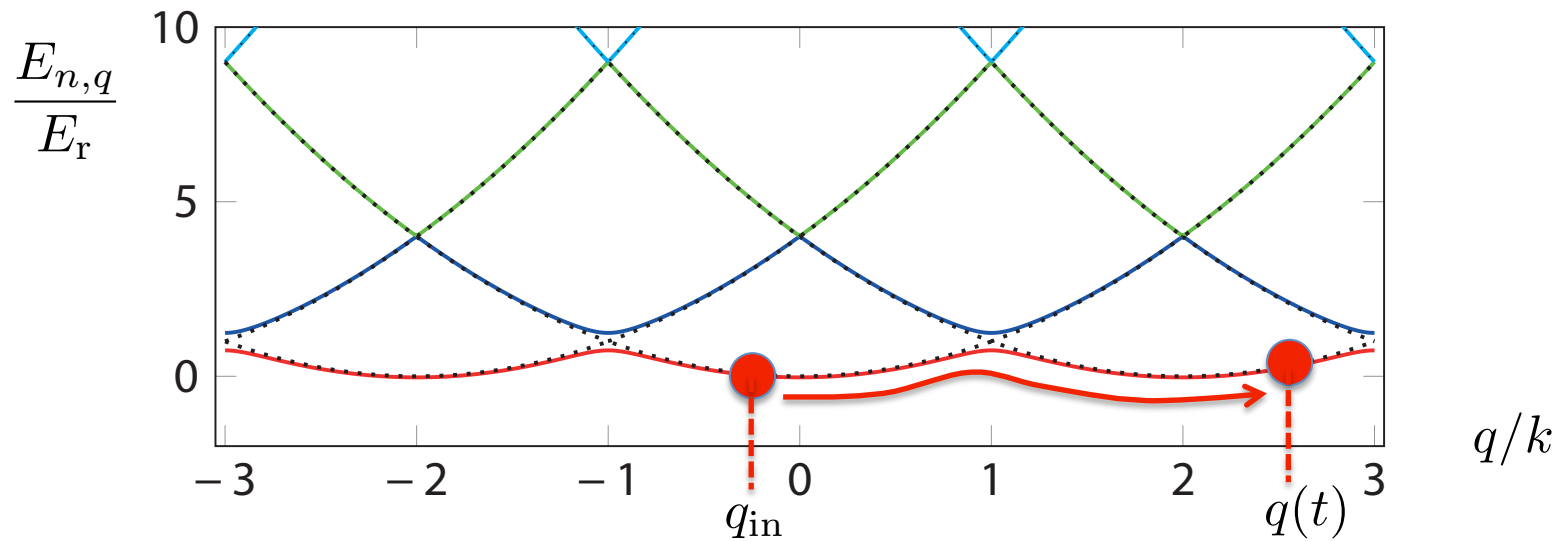
*extraction irréversible des électrons  
depuis la bande de conduction*

Hamiltonien « de type  $\hat{H}_1$  » avec une force constante  
(indépendante du temps et de l'espace) en plus du potentiel périodique

$$\hat{H} = \frac{\hat{p}^2}{2m} + V(\hat{x}) - F\hat{x} \qquad V(x+a) = V(x)$$

Que gagne-t-on par rapport à la relation générale  $q(t) = q_{\text{in}} + \frac{1}{\hbar} \int_0^t F(t') dt'$  ?

# L'approximation adiabatique



Instant initial :  $\psi(x, t = 0) = \psi_{n, q_{in}}(x) = e^{i x q_{in}} u_{n, q_{in}}(x)$

L'approximation adiabatique consiste à supposer que l'état de l'atome reste dans la bande de départ

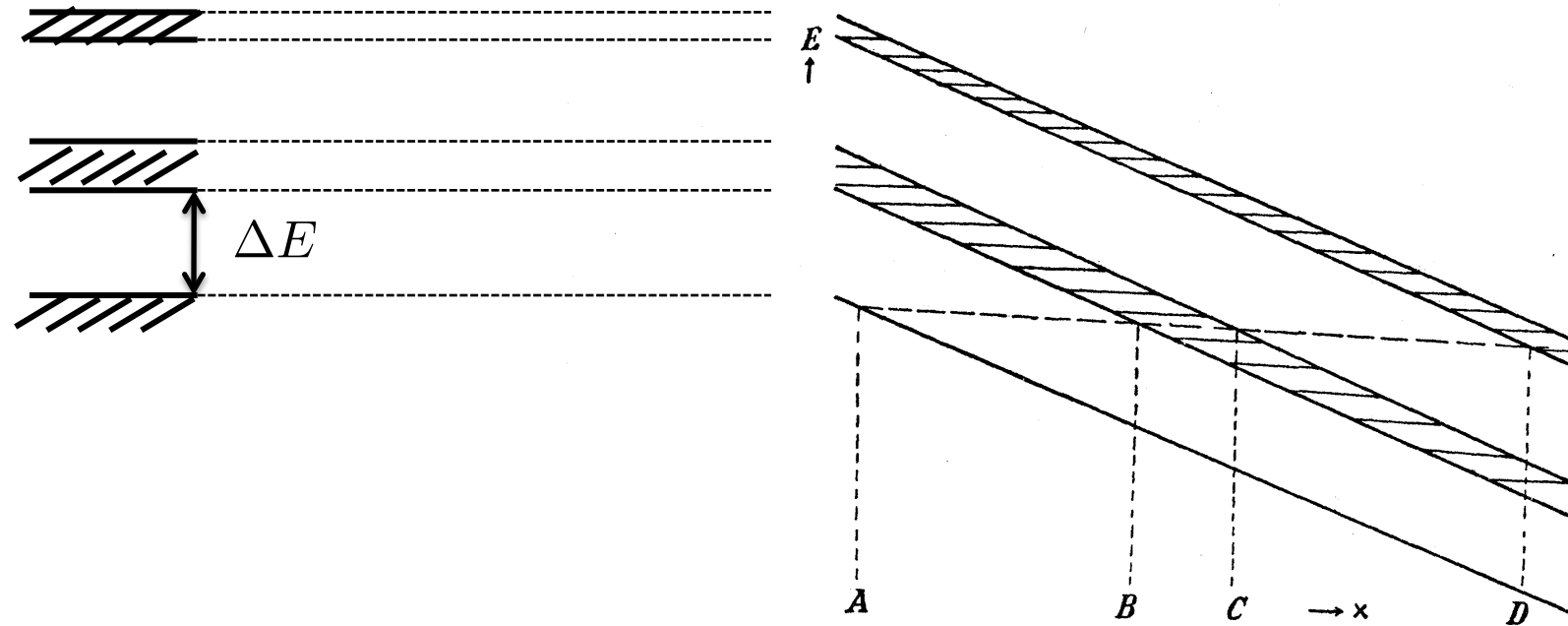
$$\psi(x, t) \propto \psi_{n, q(t)}(x) = e^{i x q(t)} u_{n, q(t)}(x) \quad q(t) = q_{in} + Ft/\hbar$$

En particulier, au bout d'une période de Bloch  $\psi(x, \tau_B) \propto \psi(x, 0)$

*égalité à une phase près : dynamique + géométrie (Zak)*



# L'approche de Zener (1934)



Mélange la notion de bande (espace des quasi-impulsions)  
et de potentiel (espace des positions)

*« spectre d'énergie local »*

Amplitude de l'oscillation dans l'espace réel :  $x_b - x_A = \Delta E / F$

# La vitesse de groupe en absence de force

$$v_{g,n}(q_0) = \frac{1}{\hbar} \left. \frac{dE_n}{dq} \right|_{q=q_0}$$

Evolution générale dans le potentiel périodique dans une bande  $n$  :

$$\psi(x, 0) = \int c(q) \psi_{n,q}(x) dq \quad \longrightarrow \quad \psi(x, t) = \int c(q) \psi_{n,q}(x) e^{-iE_n(q)t/\hbar} dq$$

On considère un paquet d'ondes centré en  $q_0$  avec une dispersion  $\Delta q \ll k$  :

$$\begin{aligned} \text{Développement au voisinage de } q_0 : E_n(q) &\approx E_n(q_0) + (q - q_0) \left. \frac{dE_n}{dq} \right|_{q=q_0} \\ &= E_n(q_0) + \hbar(q - q_0)v_{g,n}(q_0) \end{aligned}$$

$$\longrightarrow \psi(x, t) \propto \int c(q) \psi_{n,q}(x) e^{-iqv_{g,n}(q_0)t} dq$$

Choisissons une durée  $t$  telle que  $v_{g,n}t = a$  (une période spatiale du réseau)

$$e^{-iqa} \psi_{n,q}(x) = \psi_{n,q}(x - a) \quad \longrightarrow \quad \psi(x, t) \propto \psi(x - a, 0)$$

**Propagation à vitesse  $v_{g,n}(q_0)$**

# L'approche « paquet d'ondes » en présence de la force $F$

Le défilement du quasi-moment  $q(t) = q_{\text{in}} + Ft/\hbar$  entraîne une modification de la vitesse de groupe :

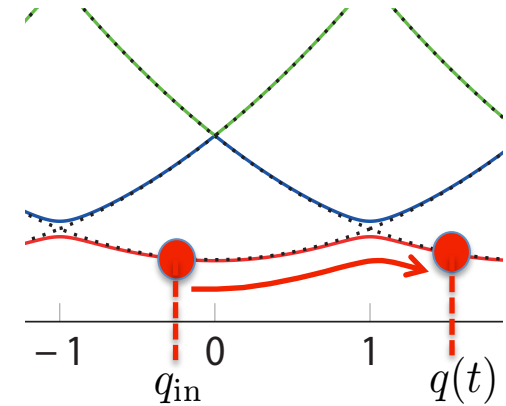
$$v_g(q) \rightarrow v_g[q(t)]$$

Evolution du centre du paquet d'ondes :

$$\frac{d\bar{x}}{dt} = v_g(t) = \frac{1}{\hbar} \left. \frac{dE_{n,q}}{dq} \right|_{q=\bar{q}(t)}$$

ce qui s'intègre en : 
$$\bar{x}(t) - \bar{x}(0) = \frac{1}{\hbar} \int_0^t \frac{dE_{n,q}}{dq} dt = \frac{1}{F} \int_{q_{\text{in}}}^{q(t)} \frac{dE_{n,q}}{dq} dq,$$

où encore : 
$$\bar{x}(t) - \bar{x}(0) = \frac{1}{F} (E_{n,\bar{q}(t)} - E_{n,q_{\text{in}}})$$
 *identique à la prédiction de Zener*



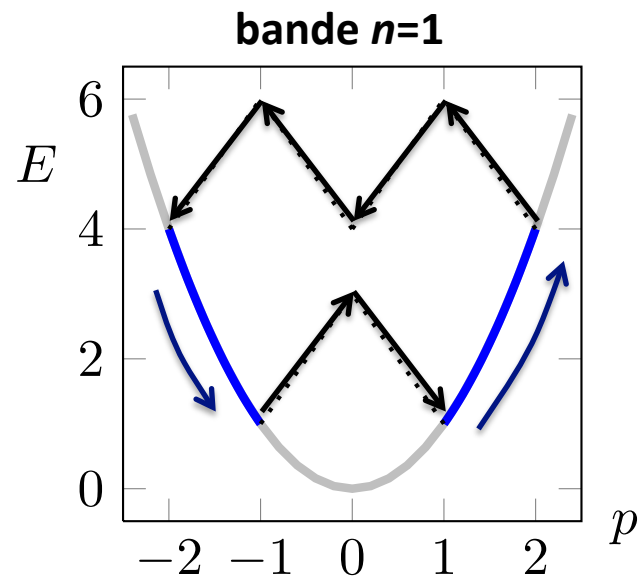
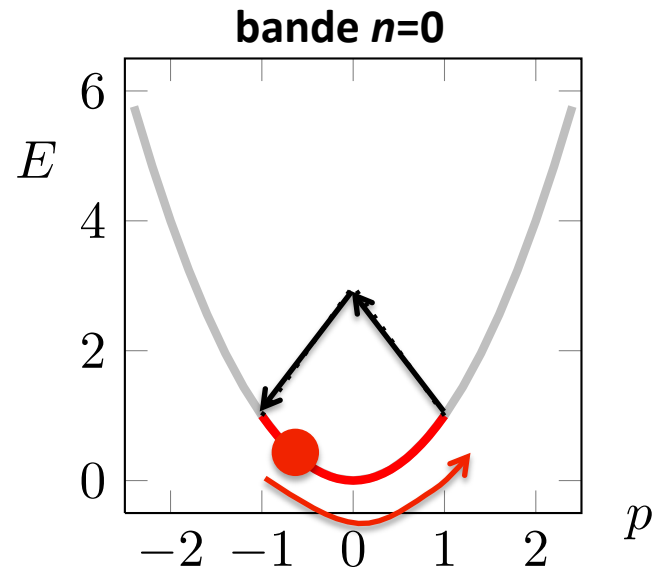
Raisonnement semi-classique qui est valable si  $\Delta q_{\text{in}} \ll \pi/a$   $\Delta x_{\text{in}} \gg a$

# Interprétation en termes de photons

Image perturbative de  
l'interaction atome-lumière

L'atome est accéléré comme une particule  
libre selon la loi  $\dot{p} = F$

L'effet du réseau se fait sentir quand une  
transition multi-photonique conservant  
l'énergie et l'impulsion devient possible



**2.**

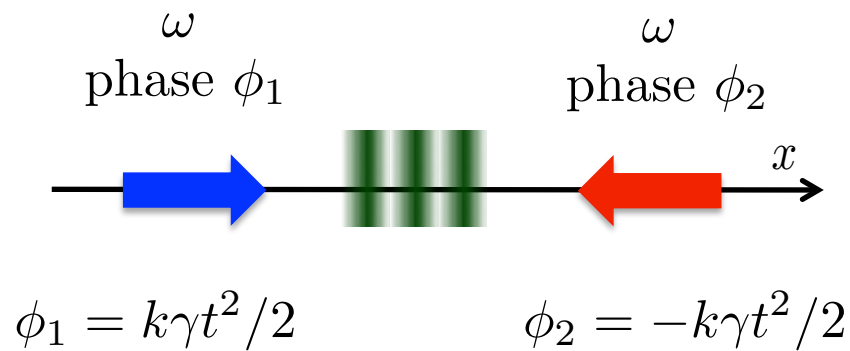
## **Observations expérimentales avec des atomes froids**

Observations initiales avec des électrons dans des super-réseaux  
(cf. article de revue par Mendez & Bastard)

# Les premières expériences avec des atomes froids

1995-97 : groupes de M. Raizen (Austin, Texas) et C. Salomon (Paris)

Réseau accéléré dans le référentiel du laboratoire :



pulsations instantanées

$$\omega_j = \omega + \frac{d\phi_j}{dt} = \omega \pm k\gamma t$$

$$x_0(t) = \gamma t^2/2$$

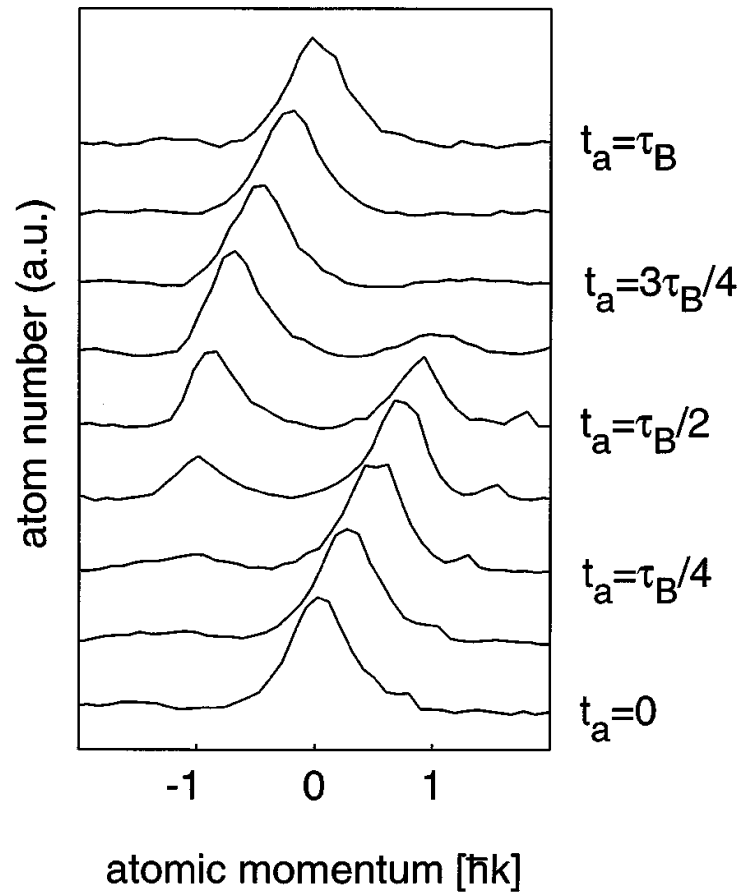
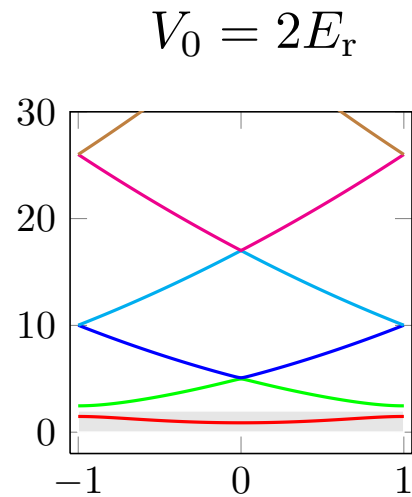
Paris, atomes de  $^{133}\text{Cs}$

$$\gamma \sim 1 \text{ à } 30 \text{ m/s}^2$$

Austin, atomes de  $^{23}\text{Na}$

$$\gamma \sim 1000 \text{ à } 3000 \text{ m/s}^2$$

# Expériences de Paris (1995-97, groupe de C. Salomon)



**Atomes de césium**

$$\Delta p_0 \sim \hbar k / 4$$

$$a = \lambda / 2 = 425 \text{ nm}$$

$$V_0 = 2.3 E_r$$

$$\gamma = -0.85 \text{ m/s}^2$$

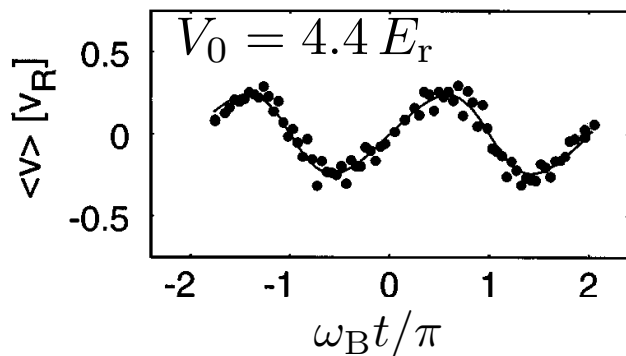
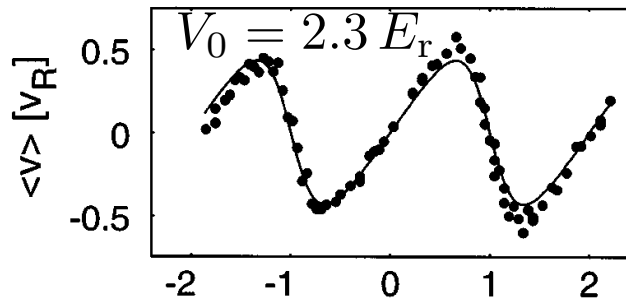
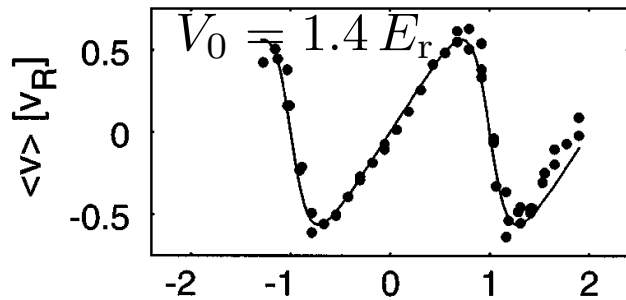
$$\tau_B = 8.2 \text{ ms}$$

Distribution en impulsion dans le référentiel du réseau,  
mesurée par temps de vol

# Vitesse atomique moyenne (Paris, 1996)

## Référentiel du réseau

$$v_{g,n}[q(t)] = \frac{1}{\hbar} \left. \frac{dE_n}{dq} \right|_{q(t)} \quad q = \frac{Ft}{\hbar}$$



Liaisons faibles :  $E_{n=0}(q) \approx \frac{\hbar^2 q^2}{2m}$

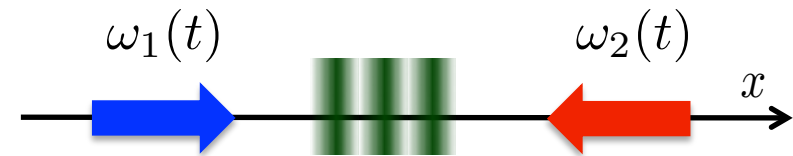
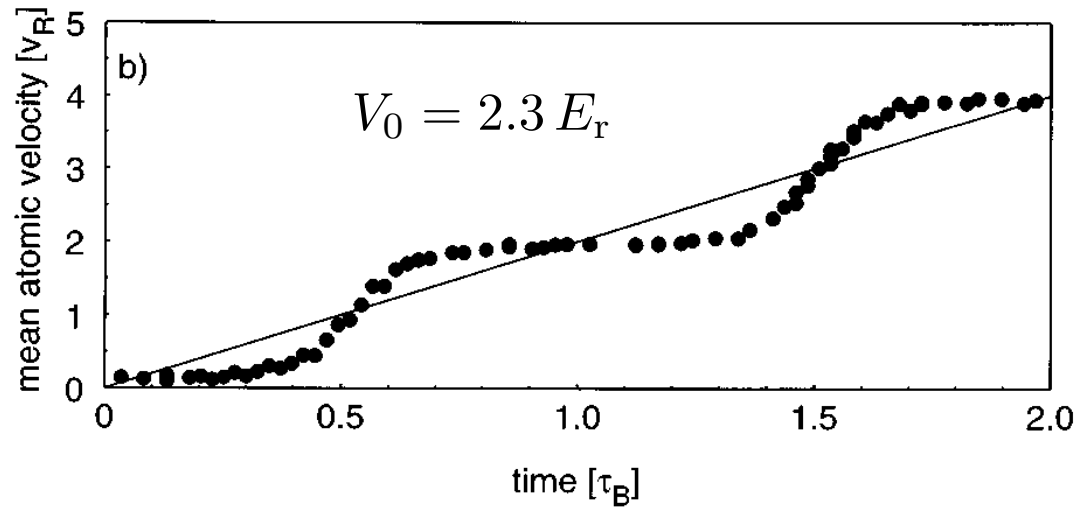
$\Rightarrow v_{g,n=0}[t] \approx$  linéaire en temps  
sauf en bord de bande

Liaisons fortes :  $E_{n=0}(q) \approx -2J \cos(aq)$

$\Rightarrow v_{g,n=0}[t] \propto \sin(aFt/\hbar)$

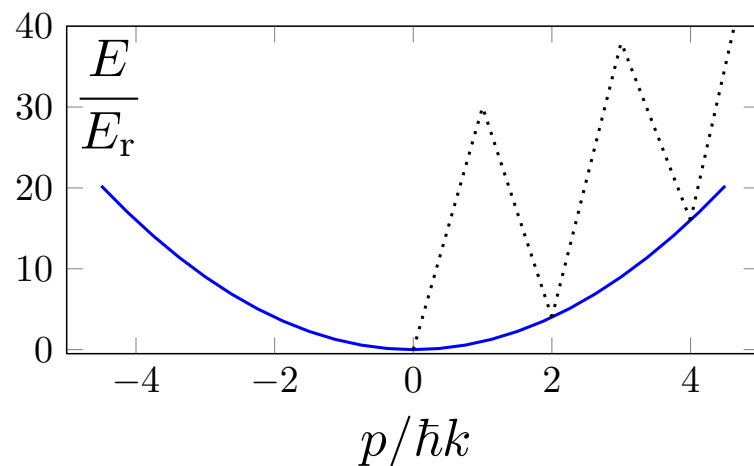


# Evolution dans le référentiel du laboratoire



$$\omega_j = \omega + \frac{d\phi_j}{dt} = \omega \pm k\gamma t$$

## Image perturbative



Condition de résonance :

$$\hbar[\omega_1(t_j) - \omega_2(t_j)] = [(2j + 2)^2 - (2j)^2] E_r$$

$$\Rightarrow t_j = \left(j + \frac{1}{2}\right) \tau_B$$

$$\tau_B = 2\hbar k / m\gamma$$

# Un « quizz »

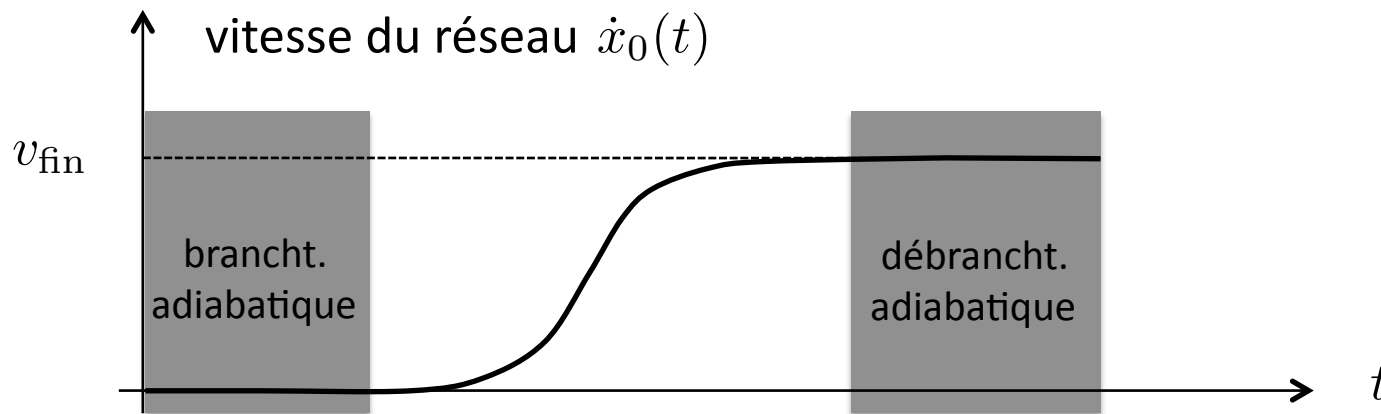
*inspiré d'une conférence de W.D. Phillips*

Initialement : réseau éteint, atomes à vitesse nulle ou basse :  $v \ll \hbar k/m$

On branche adiabatiquement le réseau avec une vitesse nulle

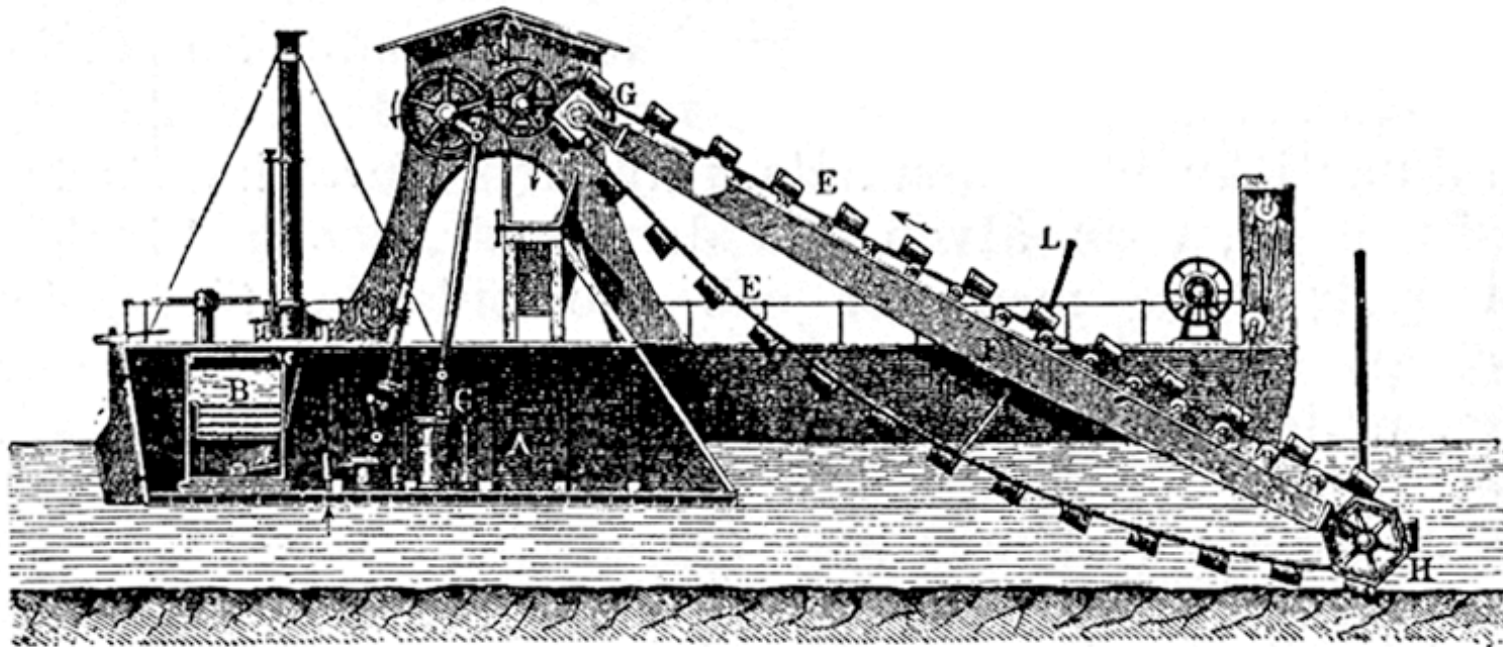
On accélère le réseau jusqu'à une vitesse  $v_{\text{fin}}$

On éteint adiabatiquement le réseau pendant qu'il bouge à la vitesse  $v_{\text{fin}}$



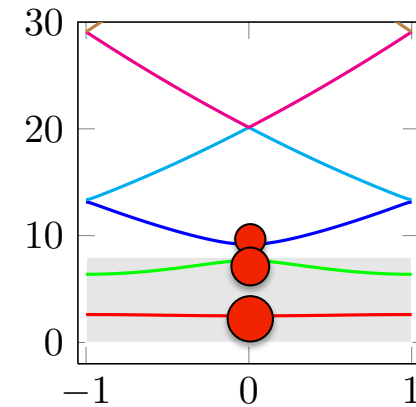
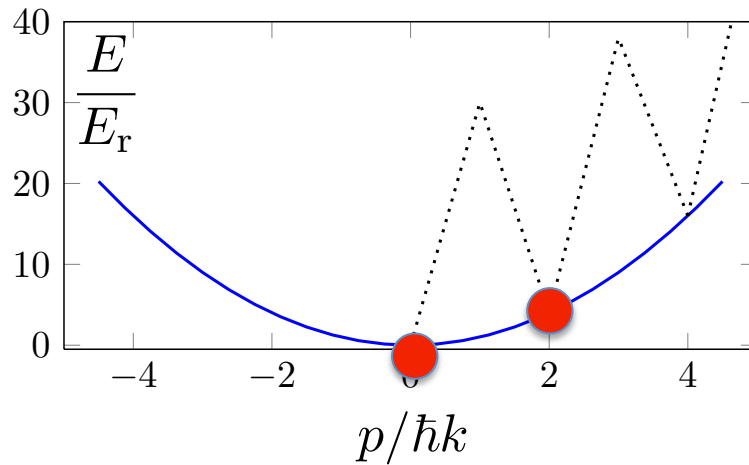
Quelle est la vitesse finale des atomes mesurée dans le référentiel du laboratoire ?

Des atomes dans un réseau optique en mouvement  
ne sont pas comme de l'eau dans un élévateur à godets...



# Bilan d'impulsion pour un réseau accéléré

Dans le référentiel du laboratoire :  $p_{\text{fin}}^{\text{labo}} = p_{\text{ini}}^{\text{labo}} + 2N\hbar k$

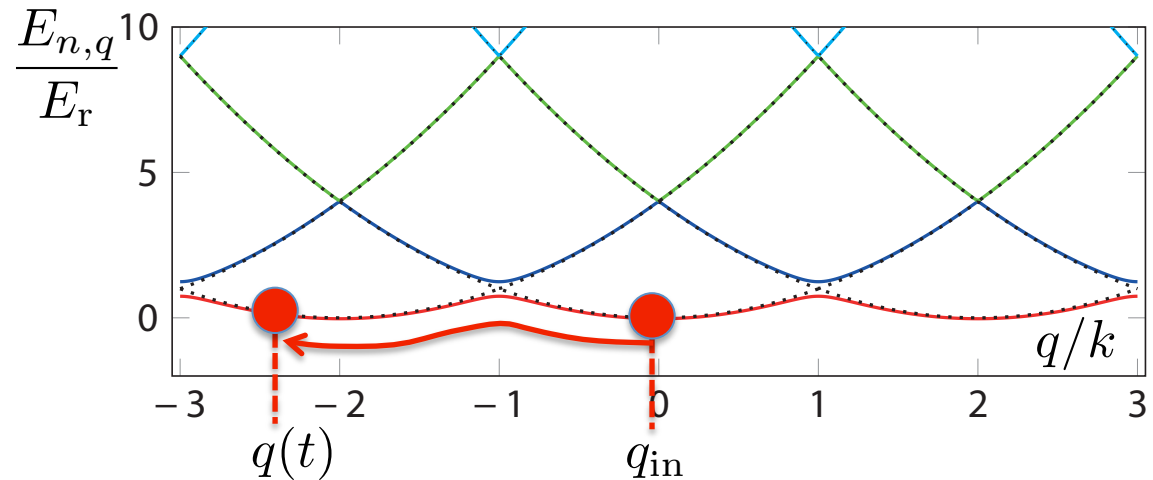


Dans le référentiel du réseau :

$$F(t) = -m\ddot{x}_0(t)$$

$$q(t) = q_{\text{in}} + \frac{1}{\hbar} \int_0^t F(t') dt'$$

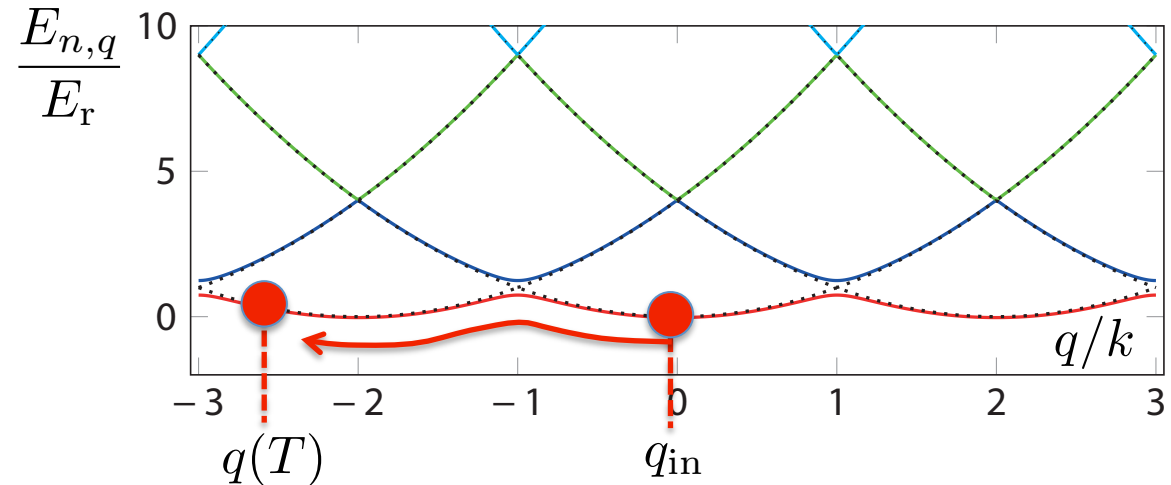
$$= q_{\text{in}} - \frac{m}{\hbar} \dot{x}_0(t)$$



## Bilan d'impulsion (suite)

Référentiel du réseau :

$$q(T) = q_{\text{in}} - \frac{m}{\hbar} \dot{x}_0(T)$$

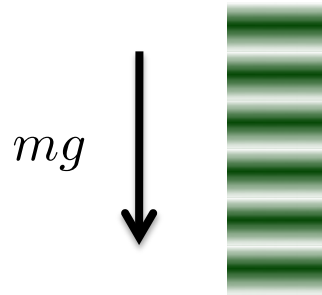


Une mesure d'impulsion va donner :  $p_{\text{fin}}^{(\text{reseau})} = \hbar q(T) + 2N\hbar k \in [-\hbar k, \hbar k]$

ce qui correspond dans le laboratoire à :

$$\begin{aligned} p_{\text{fin}}^{(\text{labo})} &= p_{\text{fin}}^{(\text{reseau})} + mv^{(\text{reseau})}(T) \\ &= p_{\text{fin}}^{(\text{reseau})} + m\dot{x}_0(T) \\ &= \hbar q(T) + 2N\hbar k + m\dot{x}_0(T) \\ &= p_{\text{in}} + 2N\hbar k \end{aligned}$$

# Oscillations de Bloch dues à la gravité



Stanford 1998, Florence 2004,...

$\hat{H}_1$  est maintenant l'hamiltonien dans le référentiel du laboratoire

$$\hbar\omega_B = amg$$

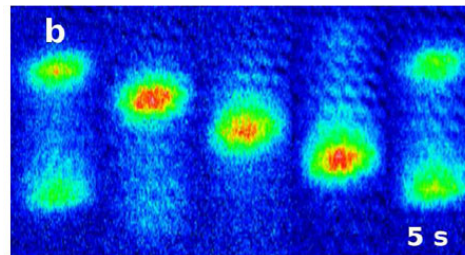
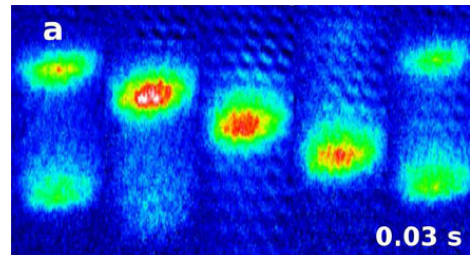
Florence 2011, Groupe de G. Tino :  $^{88}\text{Sr}$

$$a = 266 \text{ nm}$$

$$\omega_B/2\pi = 574 \text{ Hz}$$

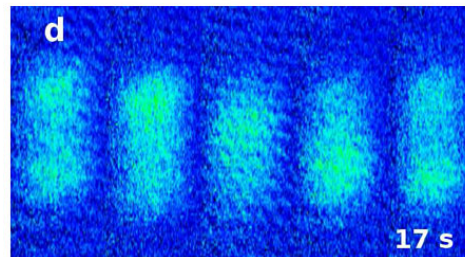
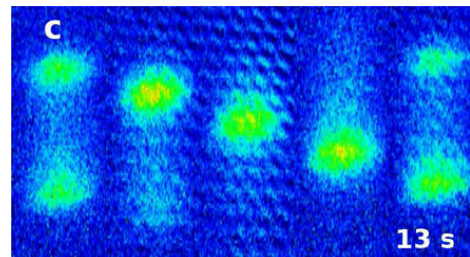
$$V_0 \approx 2 \text{ à } 3 E_r$$

1<sup>ère</sup> oscillation



oscillation n° 2900

oscillation n° 7500



oscillation n° 9800

distributions après temps de vol

$g$  à  $6 \times 10^{-6}$  près

**3.**

**L'approximation adiabatique et au delà**

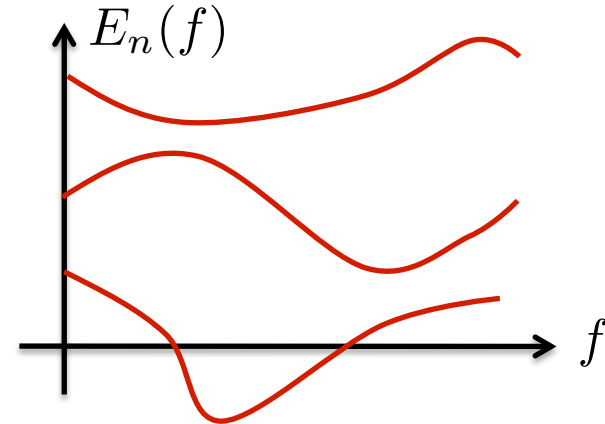
# Validité de l'approximation adiabatique

Déjà abordée au cours 2 :

Hamiltonien dépendant d'un paramètre  $f$

Etats propres  $|\phi_n(f)\rangle$

Energies  $E_n(f)$

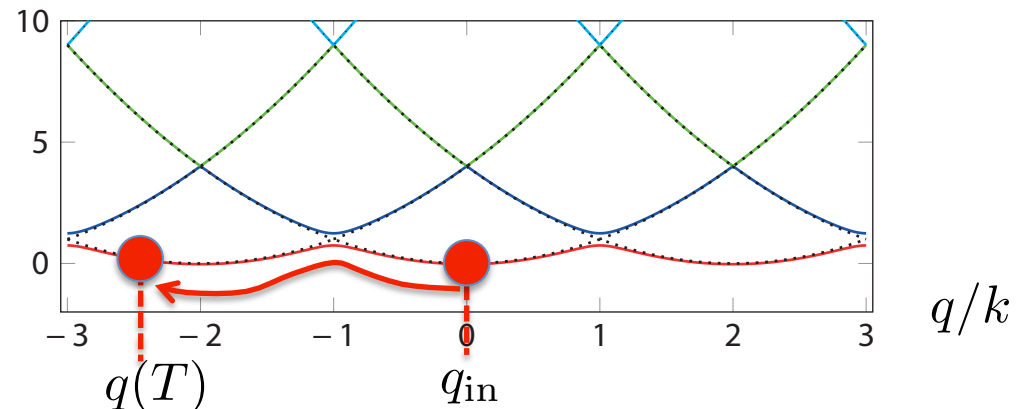


On suppose que  $f$  dépend du temps.

A l'instant initial, le système est dans un état propre particulier  $|\phi_n[f(0)]\rangle$

Le système suit cet état propre si :  $\hbar \left| \langle \phi_{n'} | \frac{d}{dt} | \phi_n \rangle \right| \ll |E_{n'} - E_n|, \quad \forall n' \neq n,$

Ici, le quasi-moment  $q$  joue le rôle du paramètre  $f$





# Le critère d'adiabaticité

On remplace le paramétrage en temps par un paramétrage en quasi-moment :

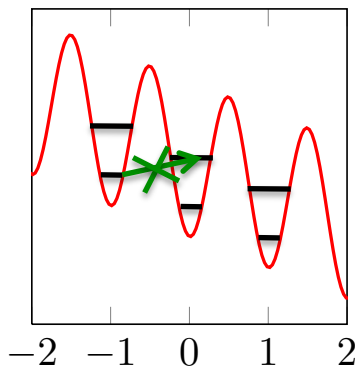
$$\dot{q} = F \quad \Rightarrow \quad \frac{d}{dt} = F \frac{d}{dq}$$

$$F |\langle u_{n',q} | \partial_q u_{n,q} \rangle| \ll |E_{n'}(q) - E_n(q)|$$

**Liaisons faibles :**  $F \ll \frac{V_0^2}{8E_r} k$

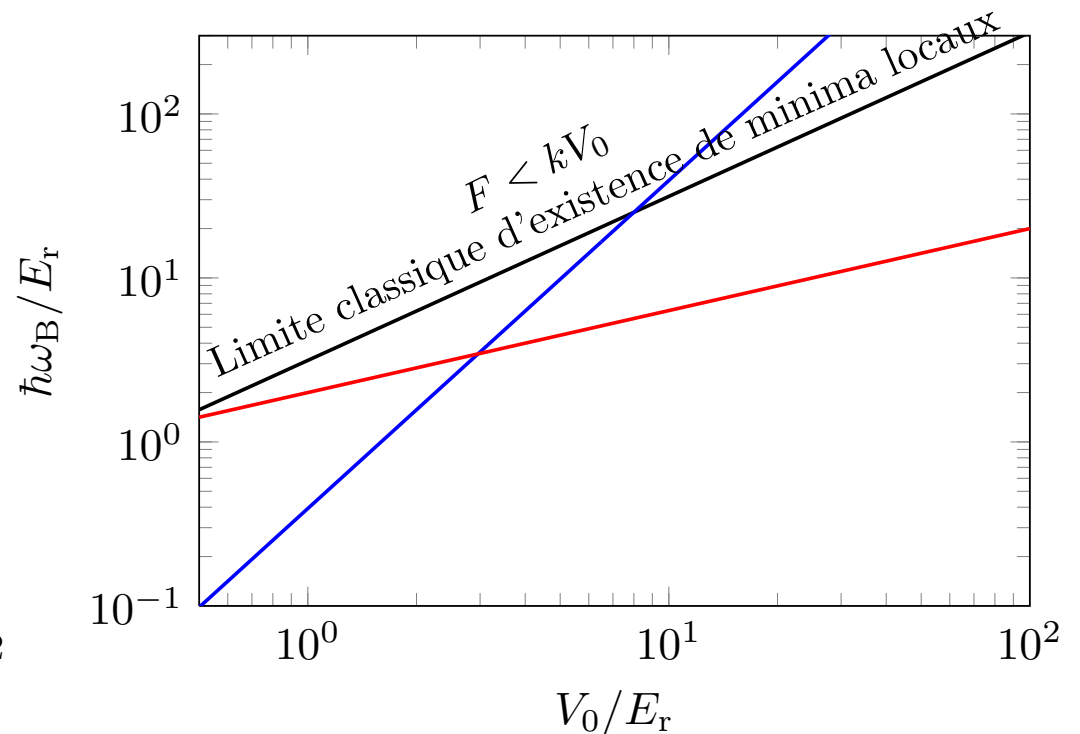
$$\frac{\hbar\omega_B}{E_r} \ll \frac{\pi}{8} \left( \frac{V_0}{E_r} \right)^2$$

**Liaisons fortes :**



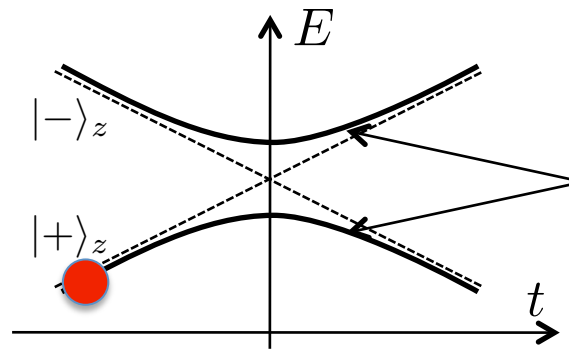
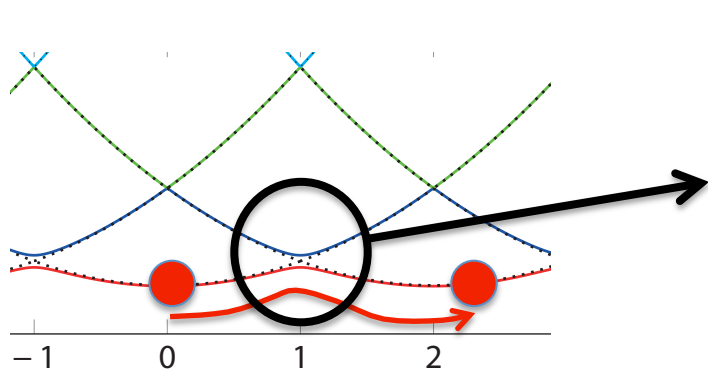
$$aF < \hbar\omega_{osc}$$

$$\frac{\hbar\omega_B}{E_r} < 2 \left( \frac{V_0}{E_r} \right)^{1/2}$$



# Transition de Landau-Zener

Liaisons faibles : modèle de croisement évités entre deux niveaux (Zener 1932)



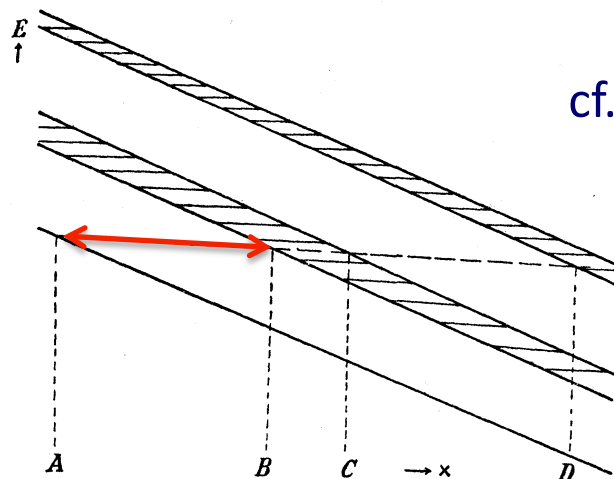
$$\hat{H}(t) = \alpha t \hat{\sigma}_z + \beta \hat{\sigma}_x$$

$$E_{\pm}(t) = \pm \sqrt{\alpha^2 t^2 + \beta^2}$$

Probabilité de suivi adiabatique :  $\mathcal{P} = 1 - e^{-\pi\beta^2/(\hbar\alpha)}$

qui devient pour notre problème :  $\mathcal{P} = 1 - e^{-F_c/F}$

$$F_c = \frac{\pi}{32} \frac{V_0^2}{E_r} k$$



cf. modèle de Gamow pour la radioactivité (1931)

L'électron « tente sa chance »  $\tau_B$  fois par seconde ;  
probabilité d'être encore dans la bande de départ :

$$\Pi(t) \approx \mathcal{P}^j = \exp \left[ j \ln \left( 1 - e^{-F_c/F} \right) \right] \approx \exp(-t/\tau)$$

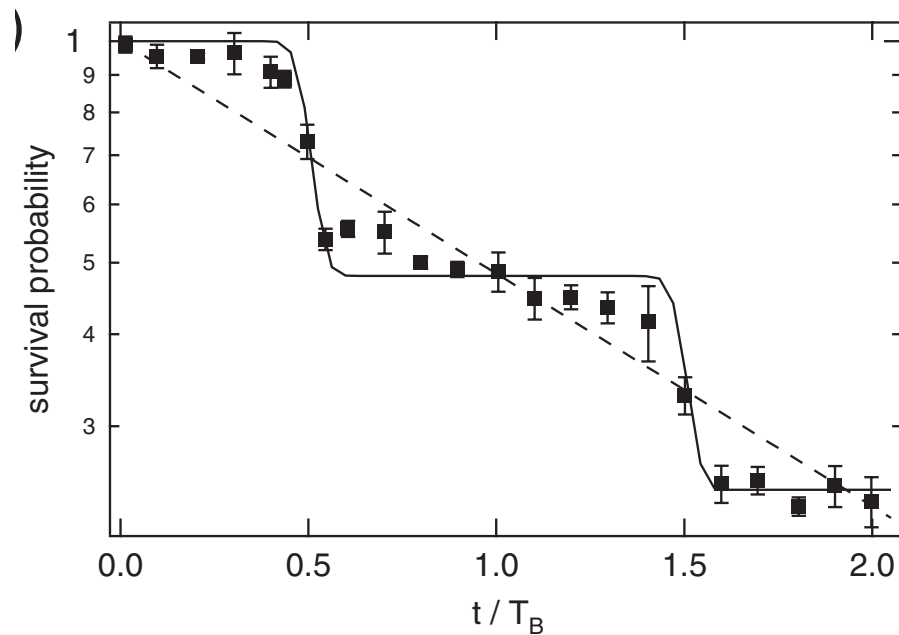
$$j = t/\tau_B$$

$$\tau = \tau_B e^{F_c/F}$$

# Mise en évidence expérimentale des transitions de Landau-Zener

Paris, Austin 1997

Pise 2009



Probabilité de survie d'atomes de rubidium  
dans la bande  $n = 0$  d'un réseau accéléré  
de période  $a = 421$  nm

$$V_0 = E_r$$

$$\hbar\omega_B = 0.4 E_r$$

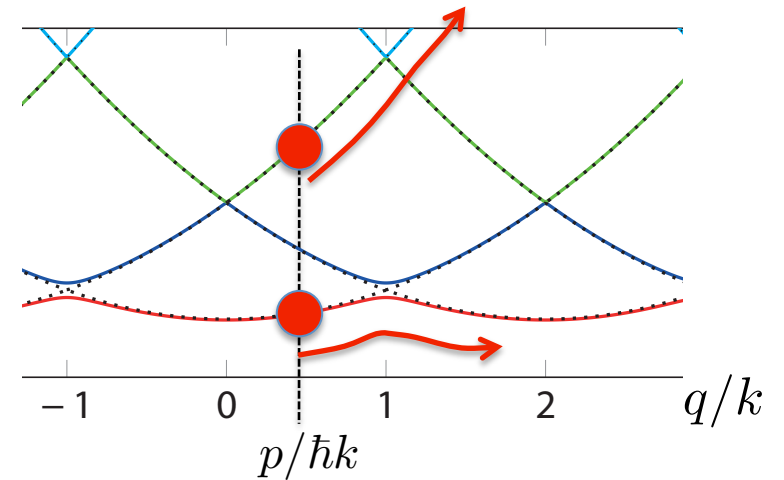
# Un séparateur de faisceau à base d'oscillations de Bloch

NIST 2002, ENS 2009, Stanford 2009

Point de départ : atomes d'impulsion  $p \leq \hbar k$

Transition de Bragg : superposition de  $p$  et  $p + 2\hbar k$

On branche adiabatiquement un réseau immobile

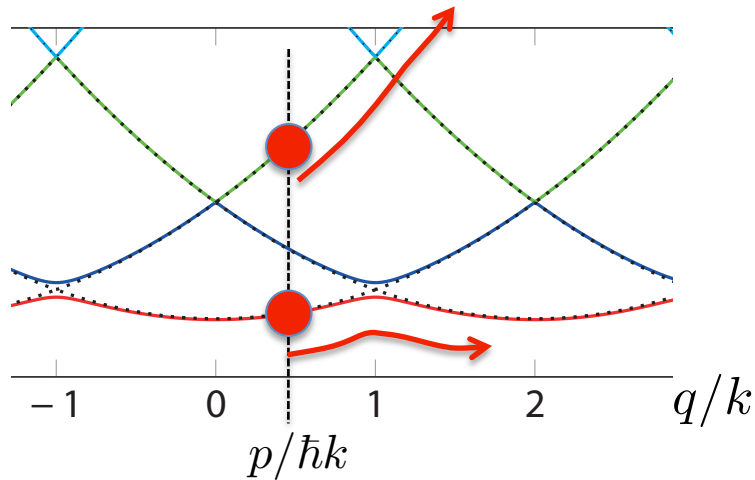


On accélère le réseau et on cherche à avoir

- un suivi adiabatique pour la bande  $n = 0$  : l'atome acquiert une impulsion  $2N \hbar k$  dans le référentiel du laboratoire
- une absence de suivi adiabatique pour la bande  $n = 2$  : l'atome « ne voit pas » le réseau et reste avec son impulsion initiale dans le référentiel du laboratoire

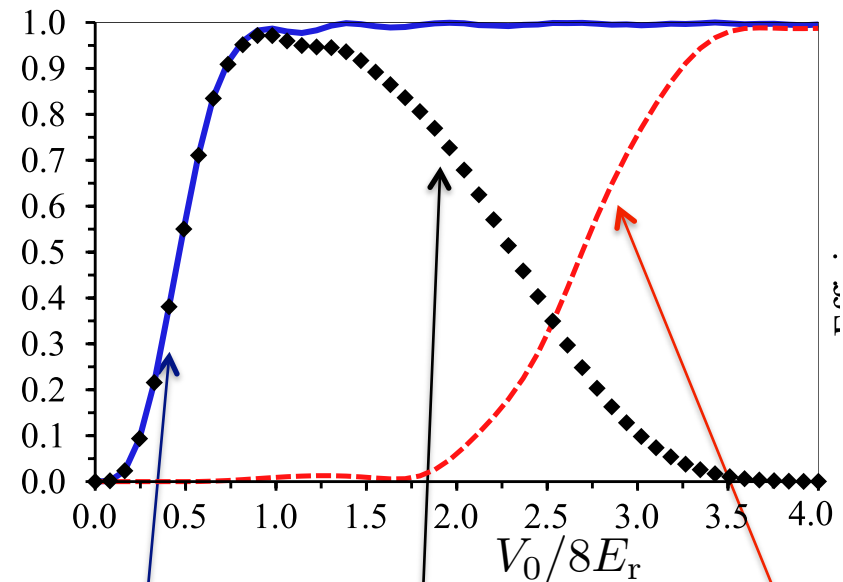
$$|\Psi\rangle = \alpha|p + 2N\hbar k\rangle + \beta|p + 2\hbar k\rangle$$

# Séparateur de faisceaux (suite)



$$|\Psi\rangle = \alpha|p + 2N\hbar k\rangle + \beta|p + 2\hbar k\rangle$$

Cladé et al. 2009, Rb  $\gamma \approx 100 \text{ m/s}^2$



probabilité de suivi  
adiabatique pour  $n=0$

probabilité de suivi  
adiabatique pour  $n=2$

$$\mathcal{P}_0(1 - \mathcal{P}_2)$$

NIST 2002: jusqu'à  $12 \hbar k$  d'écart entre les deux bras + interféromètre Mach-Zender

*Difficultés liées au fait que les déplacements lumineux ne sont pas les mêmes dans les deux bras*

**4.**

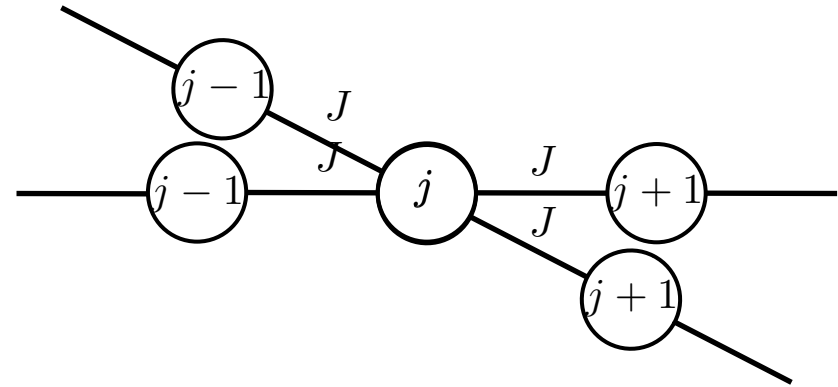
**Les oscillations de Bloch dans la limite des liaisons fortes**

# La fonction d'onde oscillante

Hamiltonien en liaisons fortes (de type  $\hat{H}_1$ ) :

$$\hat{H} = -J (\hat{T} + \hat{T}^\dagger) - Fa \sum_j j |w_j\rangle \langle w_j|$$

$$\hat{T} = \sum_j |w_{j+1}\rangle \langle w_j|$$



Si  $F=0$ , fonctions de Bloch :  $|\psi_q\rangle = \sum_j e^{ijaq} |w_j\rangle$        $E(q) = -2J \cos(aq)$

Si  $F \neq 0$ , la forme de Bloch est préservée avec  $q(t) = q_{\text{in}} + Ft/\hbar$

On cherche une solution sous la forme :  $|\psi(t)\rangle = e^{-i\Phi(t)} \sum_j e^{ija q(t)} |w_j\rangle$

cf. cours n°4 : 
$$\Phi(t) = \Phi(0) + \frac{1}{\hbar} \int_0^t E[q(t')] dt'$$

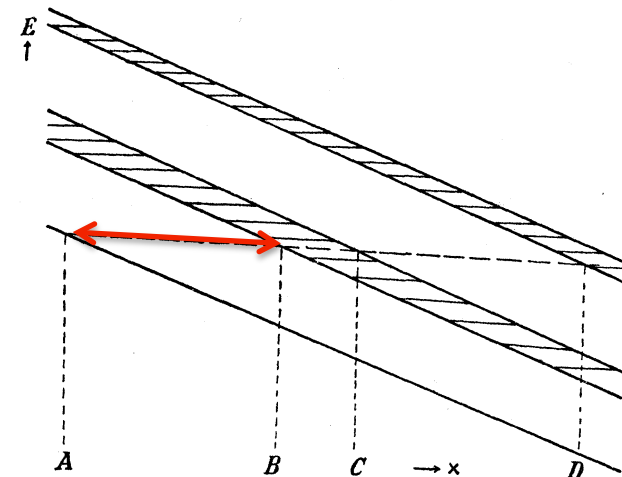
# La fonction d'onde oscillante (suite)

Phase globale d'une fonction de Bloch :  $|\psi(t)\rangle = e^{-i\Phi(t)} \sum_j e^{i j a q(t)} |w_j\rangle$

$$E(q) = -2J \cos(aq)$$

$$\begin{aligned} \Phi(t) &= \Phi(0) + \frac{1}{\hbar} \int_0^t E[q(t')] dt' \\ &= \frac{\nu}{2} \{ \sin[aq(t)] - \sin[aq_{in}] \} \end{aligned}$$

$$\nu = \frac{4J}{aF} : \text{nombre de sites entre les points A et B}$$



Connaissant l'évolution de chaque fonction de Bloch, on peut alors déterminer l'opérateur d'évolution  $\hat{U}(t)$

**base des ondes de Bloch :**  $\langle \psi_{q'} | \hat{U}(t) | \psi_q \rangle \propto \delta(q' - q - Ft/\hbar)$

**base des fonctions de Wannier :**  $\langle w_{j'} | \hat{U}(t) | w_j \rangle \propto \mathcal{J}_{j'-j}[\nu \sin(\omega_B t/2)]$



# Exemples d'évolution en modèle de liaisons fortes

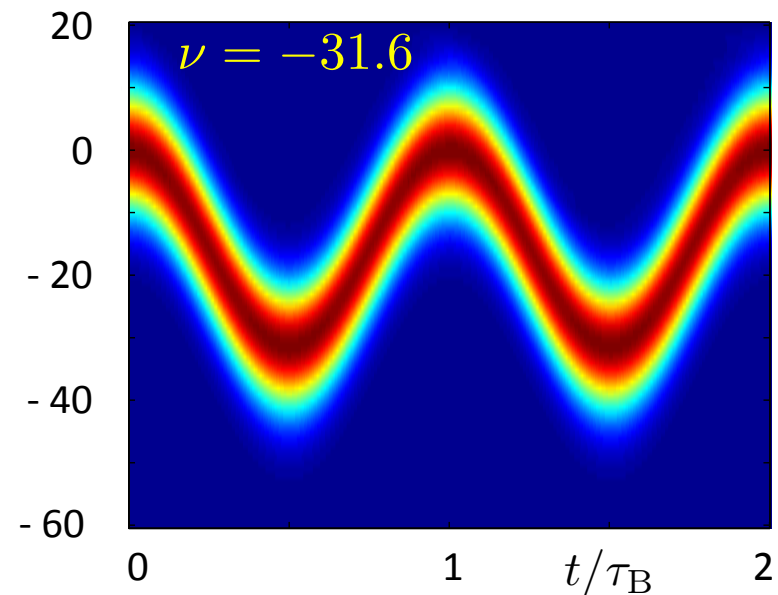
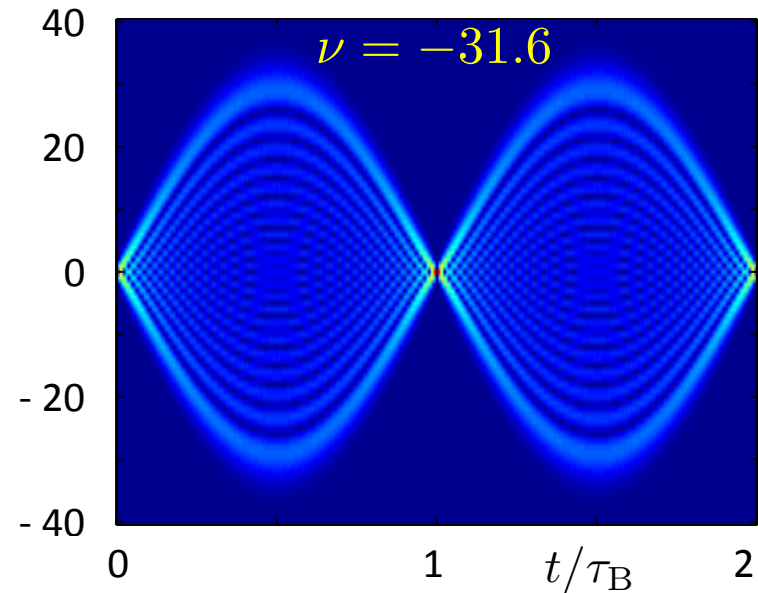
Hartmann et al, 2004

$$\nu = \frac{4J}{aF} = \frac{\Delta E}{\hbar\omega_B}$$

Point de départ :  
paquet localisé sur un site donné (j=0)

$$\langle w_j | \hat{U}(t) | w_0 \rangle \propto \mathcal{J}_j[\nu \sin(\omega_B t/2)]$$

Point de départ :  
paquet d'ondes étendu :  $\sigma = 5$  sites  
vitesse initiale nulle



A suivre :

- Les échelle de Wannier Stark
- Perspectives et applications